

La industria lítica pleistocena del Montón de Tierra (Córdoba). En torno al Paleolítico inferior del valle medio del Guadalquivir

RAFAEL MARÍA MARTÍNEZ SÁNCHEZ
Universidad de Córdoba
ANTONIO MORENO ROSA
Museo Arqueológico de Cabra (Córdoba)

RESUMEN

En este trabajo presentamos un conjunto industrial procedente de la finca el Montón de Tierra, situada sobre un nivel de terraza en la margen derecha del Guadalquivir y correspondiente a una recogida selectiva superficial, encuadrada en una actuación arqueológica preventiva. Dentro de los límites impuestos por el tipo de actividad desarrollada, nuestra aportación pretende reavivar la atención respecto al potencial arqueológico del Pleistoceno medio y superior existente en las terrazas fluviales del Guadalquivir Medio.

PALABRAS CALVE: Guadalquivir Medio, terrazas fluviales, industria lítica, Paleolítico inferior.

ABSTRACT

In this work we present an industrial complex coming from the property named "Montón de Tierra", placed on a terrace level in the right margin of the Guadalquivir River, obtained through a selective surface, located during an archaeological survey. Within the restricted limits of this type of works, our data intends to revive the interest regarding the archaeological potentialities of the river terraces of the Middle Guadalquivir River basin between the Middle and Upper Pleistocene.

KEY WORDS: Middle Guadalquivir River basin, river terraces, Lower Paleolithic, lithic industry.

INTRODUCCIÓN

El conjunto lítico que presentamos en este trabajo fue recuperado durante una prospección arqueológica superficial aprobada como actividad arqueológica preventiva (AAPre) realizada en un terreno destinado a la instalación de una huerta solar fotovoltaica. Dichas instalaciones se proyectaron en terrenos de la parcela número 47 del polígono 76 del PGOU de Córdoba, siendo la superficie prospectada de unas 12 ha dispuestas entre un segmento del llamado Canal del Guadalmellato al norte y el Cementerio de la Fuensanta al sur (Figura 1). La parcela se ubica pues al noreste de la ciudad de Córdoba y dentro de su término municipal, a algo más de 5 km en línea recta del casco urbano y a aproximadamente unos 1500 m en dirección noroeste a la actual orilla derecha del río Guadalquivir, quedando limitada al oeste por el cauce tributario del Salto de la Lancha. Topográficamente cuenta con una superficie bastante llana, dispuesta sobre una terraza fluvial con una

cota máxima de 141 msnm. La superficie de la terraza conecta al norte con el glacis mioceno (arenas y biomicritas arenosas) mediante un suave gradiente que asciende hacia el escalón de la Sierra Morena cordobesa, entre el sector de Navalagrulla y la Loma del Cerrajero, con materiales cámbricos.

En tiempos recientes y hasta mediados del siglo XX, la superficie de dicha parcela fue explotada como dehesa quedando en la actualidad (2010- 2012) inculta. Como la prospección efectuada probó, este terreno carece de evidencias que aludan a una fase histórica que haya dejado testimonios materiales o constructivos significativos. Ello ha servido, a diferencia de lo observado en gran parte de las terrazas situadas en la inmediata vecindad de la ciudad de Córdoba, para que las agrupaciones líticas superficiales sean susceptibles de mantener con una mayor coherencia la posición derivada por procesos geomorfológicos naturales. Incidimos en ello al resultar relativamente frecuente

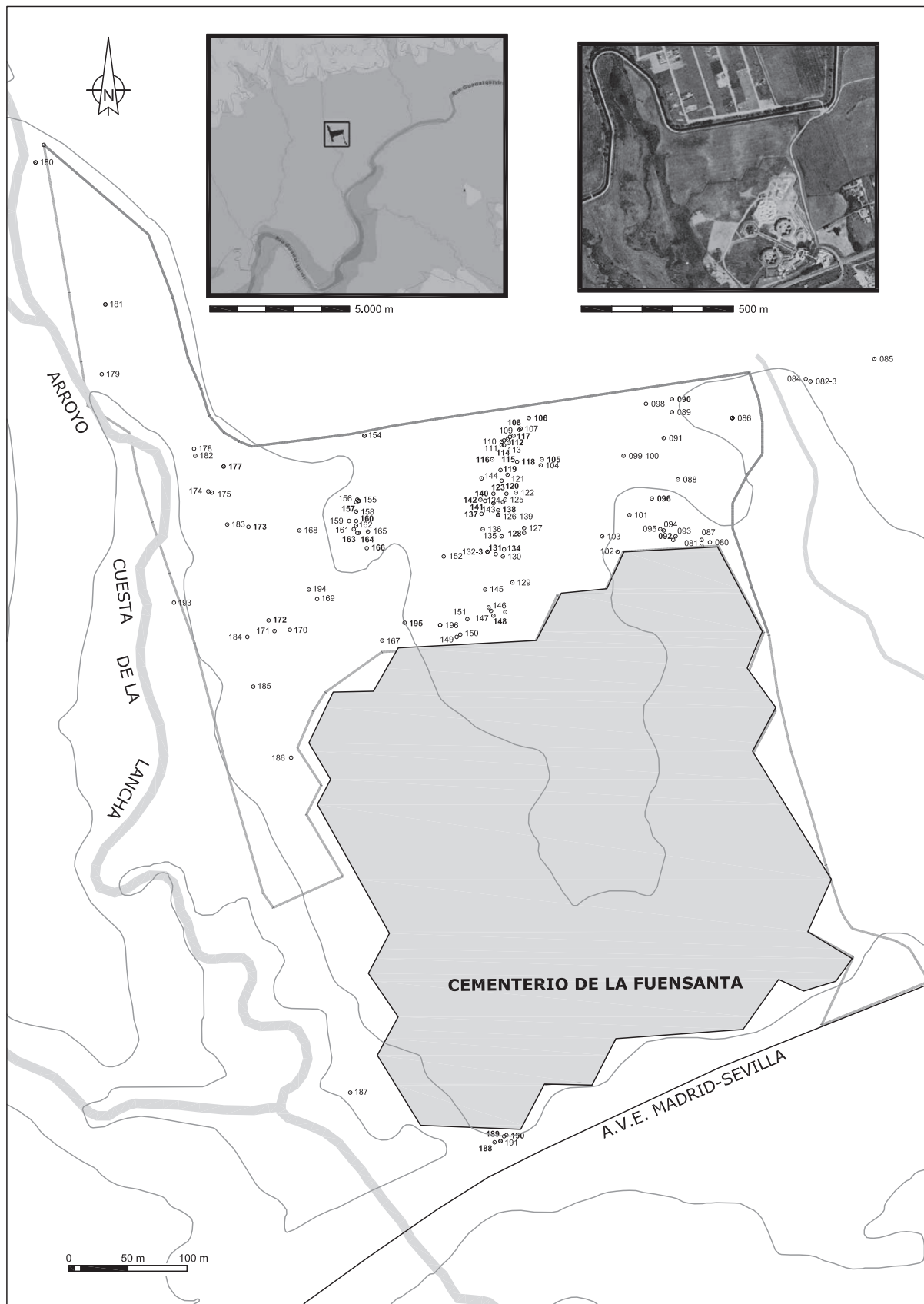


Fig. 1: Plano de situación de la parcela intervenida, con indicación de las localizaciones referenciadas.

el hallazgo eventual de industria lítica pleistocena durante trabajos de prospección o excavación realizados áreas urbanas o periurbanas de Córdoba, sobre todo en aquellas ocupadas por restos de los arrabales occidentales de la capital del Califato Omeya, amén de otras áreas próximas a la vega del Guadalquivir sujetas actualmente a agricultura mecanizada (Liébana 2008, Bretones 2009, Martínez 2010, Expósito y Martínez 2010). Dichos contextos se encuentran por lo general muy alterados por la actividad constructiva de tiempos históricos, así como por el laboreo agrícola realizado tradicionalmente sobre las terrazas y llanura aluvial.

Con este trabajo, nuestro objetivo no es otro que poner de relevancia una vez más la riqueza arqueológica de las terrazas del Guadalquivir cordobés en testimonios del Paleolítico inferior y medio, a través de la presentación y descripción de un modesto conjunto de materiales de superficie. Dicho conjunto, subordinado a las circunstancias propias de una recuperación en una prospección superficial y sometida a una recogida selectiva no sistemática, podría haber sido originado en un lapso temporal relativamente largo, a juzgar por su aspecto diferencial en cuanto a pátinas y alteraciones erosivas así como a su falta de asociación a un depósito primario estratificado. En términos tecnológicos, las industrias líticas talladas documentadas se encuadran sin problemas dentro del Achelense pleno y el Musteriense, clasificación tipológica dominante en la mayor parte de los conjuntos industriales pleistocenos de superficie estudiados a lo largo del Valle del Guadalquivir (Caro Gómez 2006b).

Retrospectiva del Pleistoceno en el Guadalquivir Medio

El interés por el Pleistoceno de las terrazas fluviales del Guadalquivir cordobés comenzó pronto, a raíz del hallazgo de una mandíbula de proboscideo (*Elephas/Palaeoloxodon antiquus*) en Almodóvar del Río, durante la construcción de la vía férrea Córdoba- Sevilla (1859). Dichos restos, que fueron objeto de polémicas taxonómicas en la época (Pelayo 1998: 216), se conservaron durante algún tiempo en la Facultad de Filosofía y Letras de Sevilla (Carbonell 1916: 597; 1926: 189). Contamos asimismo con otra noticia referida al hallazgo de molares de *Bos primigenius*, en terrenos cuaternarios cercanos al castillo de Almodóvar (Carbonell 1916: 598) y que formaban parte de la colección del Conde de Torralva, Rafael Dessmaisières. Los últimos trabajos publicados relativos a fauna pleistocena de mamíferos en esta franja de terreno fueron realizados por parte de Emiliano Aguirre a finales de la década de 1960 (Aguirre 1968, 1969 a y b), aun conociendo eventualmente informaciones algo confusas por parte de operarios y trabajadores de la construcción relativas al hallazgo de “grandes huesos” en graveras y labores extractivas a lo largo del cauce en tiempos recientes; por desgracia sin supervisión científica alguna.

En cuanto al interés por la existencia de material lítico del Paleolítico inferior y medio en las terrazas fluviales próximas a Córdoba, todo parece indicar que se inició de forma paralela a los estudios anteriores, siendo el geólogo Salvador Calderón (1851- 1911) quien se encargó de

recoger entre Posadas y Almodovar del Río “*algunos pedernales que consideró chelenses*” (Carbonell 1928: 61). Con posterioridad, Antonio Carbonell cita la presencia de varios elementos de sílex “*prechelenses*” en el Cortijo de la Harina, en una terraza del Guadajoz próxima a la aldea de Santa Cruz (Carbonell 1931: 81).

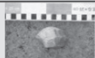
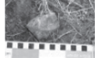



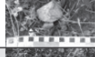




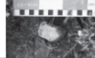

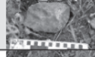
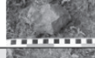









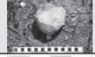
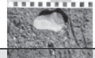

En octubre de 1944, durante la celebración del XVIII Congreso Luso- español para el Avance de las Ciencias, los alumnos del Seminario de Historia Antigua del Hombre, dirigido por Julio Martínez Santa- Olalla, visitaron algunas terrazas de la orilla izquierda del Guadalquivir al este de Córdoba, así como en la finca de Córdoba la Vieja, lo que fue aprovechado por el arqueólogo portugués Abel Viana para recoger diversos materiales de tipología achelense (Viana 1946). Será precisamente durante el desarrollo de dicha reunión, cuando Samuel de los Santos Gallego, hijo del entonces conservador del Museo Arqueológico Provincial de Córdoba Samuel de los Santos Gener, reconozca industria paleolítica (probablemente Paleolítico medio) en el carril de la Huerta de los Arcos, en el piedemonte de Sierra Morena y muy cerca de la ciudad (Santos 1947: 68).

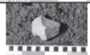
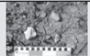
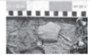

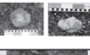
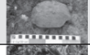




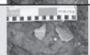

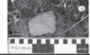
Pasado el tiempo otros eruditos, como el notario Ángel Casas, se interesarán por estos conjuntos. Este último lo hará casi de forma casual, cuando una avería en carretera lo hizo bajar de su vehículo, encontrando cerca del cauce del Guadajoz una punta musteriense (Casas 1964: 128). El interés que le produjo este hallazgo le impulsó a realizar distintas recolecciones a lo largo de la vega del Guadalquivir entre Palma de Río y Alcolea, así como siguiendo las riberas del río Guadajoz, presentando una memoria en la cual describe la enorme colección recolectada como discurso de ingreso en la Real Academia de Córdoba (Casas 1964).

A partir de la década de 1980, el tramo del Guadalquivir a su paso por la provincia de Córdoba será objeto de consideración ocasional por el equipo que desde la Universidad de Sevilla dirigió Enrique Vallespí, subordinado a la atención prioritaria profesada a las terrazas del bajo Guadalquivir y de la provincia de Sevilla (Vallespí *et Alii* 1988). Desde la Universidad de Córdoba, a partir de esta misma década, Francisco Araque Aranda (1987, 1993) iniciaría una fructífera investigación en colaboración con Fernando Díaz del Olmo y otros investigadores de la Universidad de Sevilla. Dicha colaboración se centraría en los conjuntos de superficie del Cuaternario fluvial en paralelo a Ana M^a Ruiz Gómez quien, dirigida también por M^a Dolores Asquerino, inició el estudio de los conjuntos superficiales circunscritos al Paleolítico medio (Ruiz 1985). Por desgracia estos trabajos, desarrollados en el primer caso con una tesis doctoral muy avanzada que no llegaría a término, se vieron interrumpidos hasta el presente, teniendo sin embargo eco en algunas publicaciones de carácter divulgativo (Asquerino 1994).

METODOLOGÍA

La colección que analizaremos procedente del Montón de Tierra fue recuperada en una Prospección Arqueológica Superficial que ha comprendido la totalidad del sector afectado por el proyecto de construcción del mencionado

N	Zona	X	Y	Pieza	Material	Foto	Recogida
80	30 S	350146	4198991	Núcleo discoide bifacial	Cuarcita		No
81	30 S	350153	4198994	Núcleo discoide	Cuarcita		No
82	30 S	350150	4199076	Núcleo poliédrico sobre lasca	Cuarcita		No
83	30 S	350234	4199132	Lasca. Erosión hídrica	Cuarcita		No
84	30 S	350238	4199130	Base natural/ Percutor	Cuarzoarenita		No
86	30 S	350172	4199099	Núcleo discoide	Cuarcita		No
87	30 S	350146	4198996	Base natural/ Percutor	Cuarzoarenita		No
88	30 S	350126	4199047	Lasca de talla	Cuarcita		No
89	30 S	350121	4199104	Núcleo poliédrico	Cuarcita		No
90	30 S	350121	4199115	Triedro- Bifaz cord. alargado	Otros		Si
91	30 S	350114	4199082	Lasca de talla	Cuarcita		No
92	30 S	350124	4198999	Raederas simple	Cuarcita		Si
93	30 S	350122	4198996	Lasca de talla	Cuarcita		No
94	30 S	350114	4199004	Resto de talla	Cuarcita		No
95	30 S	350111	4199005	Lasca de talla	Cuarcita		No
96	30 S	350104	4199031	Núcleo centrípeto	Cuarcita		Si
98	30 S	350099	4199111	Núcleo unifacial	Cuarcita		No
99	30 S	350080	4199067	Núcleo centr. levallois	Cuarcita		No
100	30 S	350080	4199067	Frag elemento bifacial	Cuarcita		No
101	30 S	350085	4199017	Frag núcleo sobre lasca	Cuarcita		No
102	30 S	350075	4198986	Lasca levallois	Cuarcita		No
103	30 S	350062	4198999	Bifaz parcial	Cuarcita		No
104	30 S	350010	4199059	Núcleo poliédrico	Cuarcita		No
105	30 S	350011	4199064	Lasca levallois pref.	Cuarcita		Si
106	30 S	350000	4199099	Lasca- arista de núcleo	Cuarcita		Si
107	30 S	349992	4199089	Núcleo discoide	Cuarcita		No
108	30 S	349993	4199090	Raederas simple cóncava	Cuarcita		Si
109	30 S	349987	4199084	Núcleo discoide centr.	Cuarcita		No
110	30 S	349977	4199079	2 Lascas de talla	Cuarcita		No
111	30 S	349979	4199080	Lasca levallois	Cuarcita		No
112	30 S	349982	4199081	Bifaz ovalar sobre canto	Cuarcita		Si
113	30 S	349983	4199078	Lasca/ Resto de talla	Cuarcita		No
114	30 S	349979	4199076	Denticulado sobre lasca	Cuarcita		Si

115	30 S	349977	4199076	Muesca sobre lasca gruesa	Cuarcita		Si
116	30 S	349969	4199064	Lasca levallois P. / Núcleo discoide	Sílex/ Sílex		Si/ Si
117	30 S	349984	4199083	Raedera convergente	Cuarcita		Si
118	30 S	349990	4199062	Núcleo centrípeto	Sílex		Si
119	30 S	349976	4199055	Bifaz amigdaloides / Núcleo discoide	Cuarcita		Si
120	30 S	349977	4199046	Raedera lateral	Cuarcita		Si
121	30 S	349982	4199051	Núcleo disc. unifac.	Otros		No
122	30 S	349989	4199036	Lasca de talla	Cuarcita		No
123	30 S	349981	4199035	Lasca levallois/ Flan. de N.	Cuarcita		Si
124	30 S	349978	4199028	Núcleo sob. lasca	Cuarcita		No
125	30 S	349980	4199030	Raedera sob. lasca gruesa de desc.	Cuarcita		No
126	30 S	349974	4199017	2 Lascas	Cuarcita		No
127	30 S	349996	4199006	Lasca de talla	Cuarcita		No
128	30 S	349996	4199002	Lasca levallois preferencial	Cuarzoarenita		Si
129	30 S	349986	4198960	Lasca de talla	Sílex		No
130	30 S	349978	4198982	Núcleo discoide centríp.	Cuarcita		Si
131	30 S	349972	4198984	Núcleo centrípeto / Lasca gruesa	Cuarcita		Si
132	30 S	349965	4198986	2 Lascas/ Resto de talla	Cuarcita		No
133	30 S	349965	4198986	Núcleo disc. bifacial parcial	Cuarcita		No
134	30 S	349979	4198988	Núcleo disc. unif.	Cuarcita		Si
135	30 S	349977	4198999	Lasca de talla	Cuarcita		No
136	30 S	349961	4199005	Lasca de talla	Cuarcita		No
137	30 S	349960	4199018	Raedera simple lateral	Cuarcita		Si
138	30 S	349974	4199021	Raedera transversal	Cuarcita		Si
139	30 S	349974	4199017	Lasca levallois	Cuarcita		No
140	30 S	349970	4199035	Arista de núcleo	Cuarcita		Si
141	30 S	349963	4199029	N- C.Tool/ Dentic. sobre lasca	Cuarcita		No/ Si
142	30 S	349959	4199030	N- C.Tool/ Lasca de talla	Cuarcita		Si
143	30 S	349970	4199027	Lasca levallois	Cuarcita		No
145	30 S	349963	4198954	Núcleo discoide unifacial	Cuarcita		No
146	30 S	349966	4198939	Lasca de talla	Cuarcita		No
147	30 S	349968	4198936	Núcleo unifac.	Cuarcita		No
148	30 S	349970	4198932	Núcleo unifac.	Cuarcita		Si
149	30 S	349939	4198914	Lasca de talla	Cuarcita		No
150	30 S	349942	4198916	Lasca de talla	Cuarcita		No
151	30 S	349948	4198929	Núcleo discoide	Cuarcita		No
152	30 S	349928	4198982	Lasca de talla	Cuarcita		No
154	30 S	349861	4199084	Núcleo discoide centrípeto	Cuarcita		No
155	30 S	349856	4199029	Lasca de talla	Cuarcita		No
156	30 S	349854	4199028	Lasca de talla	Cuarcita		No
157	30 S	349855	4199030	Núcleo discoide centrípeto	Sílex		Si

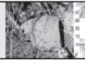
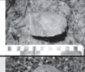
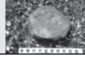

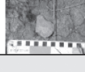
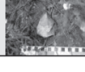
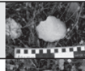
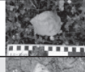
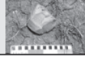

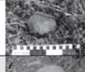
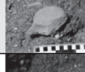
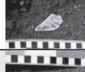
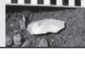
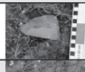

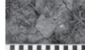
158	30 S	349854	4199020	Resto de núcleo	Cuarcita		No
159	30 S	349848	4199012	Núcleo poliédrico	Cuarcita		No
160	30 S	349854	4199012	Denticul. sob L/ 2 restos de talla	Cuarzoarenita / Cuarcita		Si
161	30 S	349852	4199005	Muesca sobre lasca	Cuarcita		No
162	30 S	349854	4199008	Lasca gruesa/ N. Discoide agotado	Cuarcita		No
163	30 S	349855	4199002	2 N Pol. unidirecc.	Cuarcita		No/Si
164	30 S	349856	4199002	Hendedor bifacial	Cuarcita		Si
165	30 S	349864	4199003	Lasca de talla	Sílex		No
166	30 S	349863	4198989	Raedera transversal	Cuarcita		Si
167	30 S	349876	4198911	Lasca de talla	Cuarcita		No
168	30 S	349806	4199004	Lasca de talla	Cuarcita		No
169	30 S	349821	4198946	Lasca de talla	Cuarcita		No
170	30 S	349798	4198920	Base natural/ Percutor	Plutónica		No
171	30 S	349785	4198919	Lasca de talla	Cuarcita		No
172	30 S	349780	4198928	Raed simple/ L de talla	Cuarcita		Si
173	30 S	349763	4199007	Muesca sobre lasca	Cuarcita		Si
174	30 S	349729	4199037	N Discoide unifacial	Cuarcita		No
175	30 S	349732	4199036	Lasca de talla	Cuarcita		No
177	30 S	349742	4199058	Núcleo discoide cent. bifacial	Cuarcita		Si
178	30 S	349717	4199073	Resto de núcleo	Cuarcita		No
181	30 S	349642	4199195	Lasca. Erosión hídrica	Sílex		No
182	30 S	349718	4199067	Lasca de talla	Cuarcita		No
183	30 S	349745	4199009	Núcleo poliédrico	Cuarcita		No
184	30 S	349762	4198914	Lasca	Cuarcita		No
185	30 S	349767	4198872	Núcleo poliédrico	Cuarcita		No
186	30 S	349799	4198812	Núcleo discoide centrípeto	Otros		No
188	30 S	349971	4198487	Triedro parcial	Cuarcita		Si
189	30 S	349979	4198492	Punta musteriense sobre lasca	Sílex		Si
190	30 S	349981	4198493	Lasca laminar	Sílex		Si
191	30 S	349976	4198488	Lasca levallois	Cuarcita		No
194	30 S	349814	4198954	Núcleo discoide bifacial	Cuarcita		No
195	30 S	349895	4198926	Frag. de núcleo	Cuarcita		Si
196	30 S	349925	4198924	Lasca de talla/ Núcleo discoide	Cuarcita		No
197	30 S	349980	4198935	Muesca sobre lasca	Cuarcita		Si

Fig. 2: Listado de la industria identificada sobre el terreno.

huerto solar, incluyendo el área que quedaría vallada y en la que se ubicarían las instalaciones de la huerta solar fotovoltaica así como sus inmediaciones (camino y lindes). Pese a lo propuesto durante la redacción del proyecto inicial, todo el trabajo pudo realizarse a partir de una única fase en campo, teniendo lugar durante toda la jornada del día 13 de mayo de 2010.

Estos trabajos de prospección pedestre se basaron en la observación visual directa de la superficie delimitada siguiendo una serie de 70 *transects* dispuestos en sentido norte-sur y sur-norte en giros de ida y vuelta, cubriendo la práctica totalidad de la superficie. Dichos *transects* se establecieron con un intervalo entre observadores de ocho metros, planificando su intensificación en pasillos de unos cinco metros en caso de hallazgo de materiales cerámi-

cos o evidencias arqueológicas que pudieran evidenciar estructuras soterradas, eventualidad que fue descartada. En aquellas áreas en las que resultó notable la presencia de materiales líticos, se procedió a intensificar la observación de tales evidencias, georeferenciando cada elemento mediante GPS o sus agrupaciones mediante nubes de puntos.

Para efectuar el recorrido rectilíneo de los *transects* utilizamos receptores GPS con el objeto de evitar desviaciones y manteniendo la dirección, si bien también pudimos valernos de referencias topográficas visuales, fundamentalmente aquellas presentes entre la obra del canal de Guadalmellato, al norte, y la tapia norte del cementerio de Nuestra Señora de la Fuensanta, al sur. El número final de *transects* recorridos fue de 70, los cuales mostraron longitudes variables en función de los límites de la parcela,

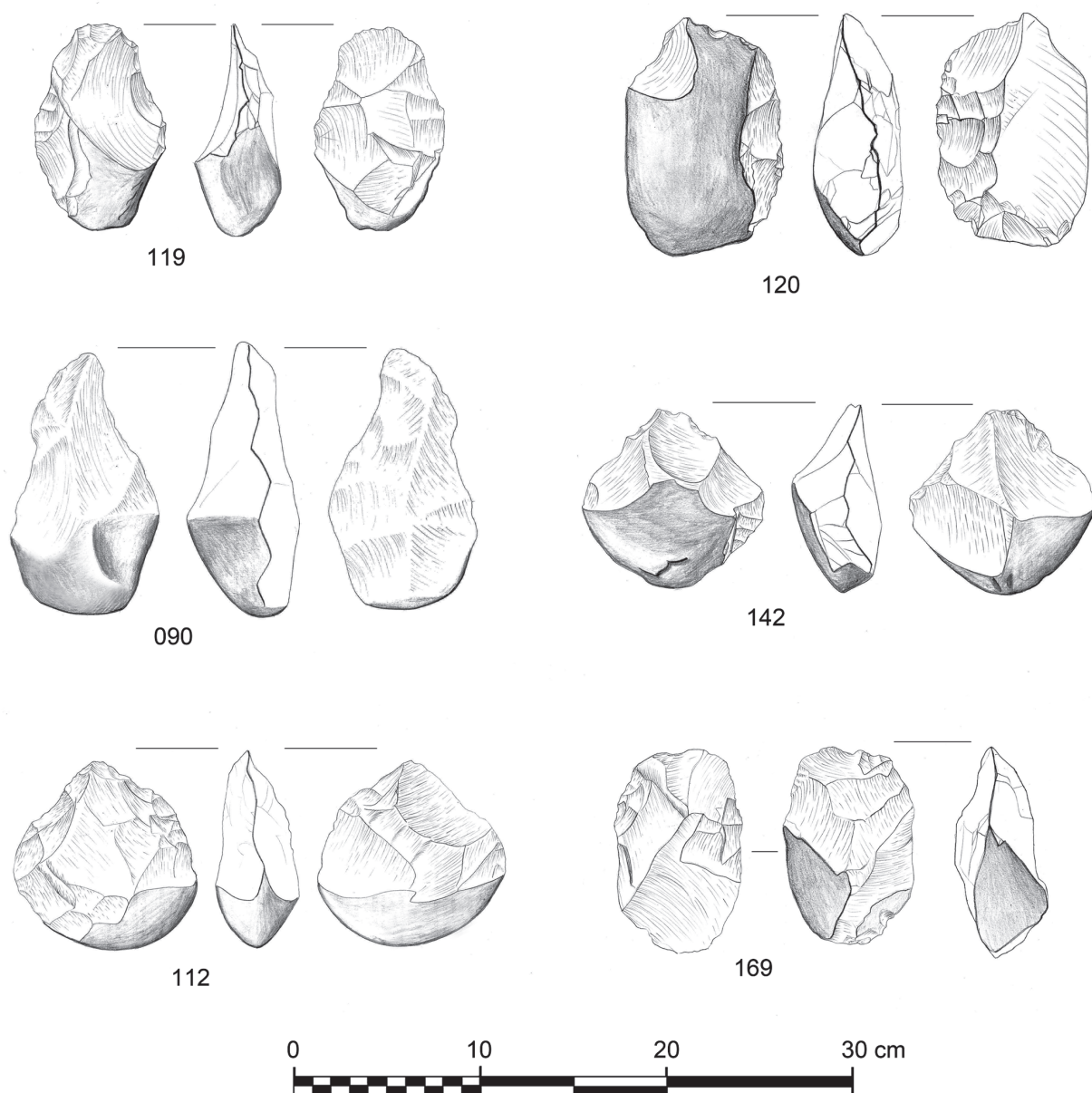


Fig. 3: Algunos ejemplos de macroindustria.

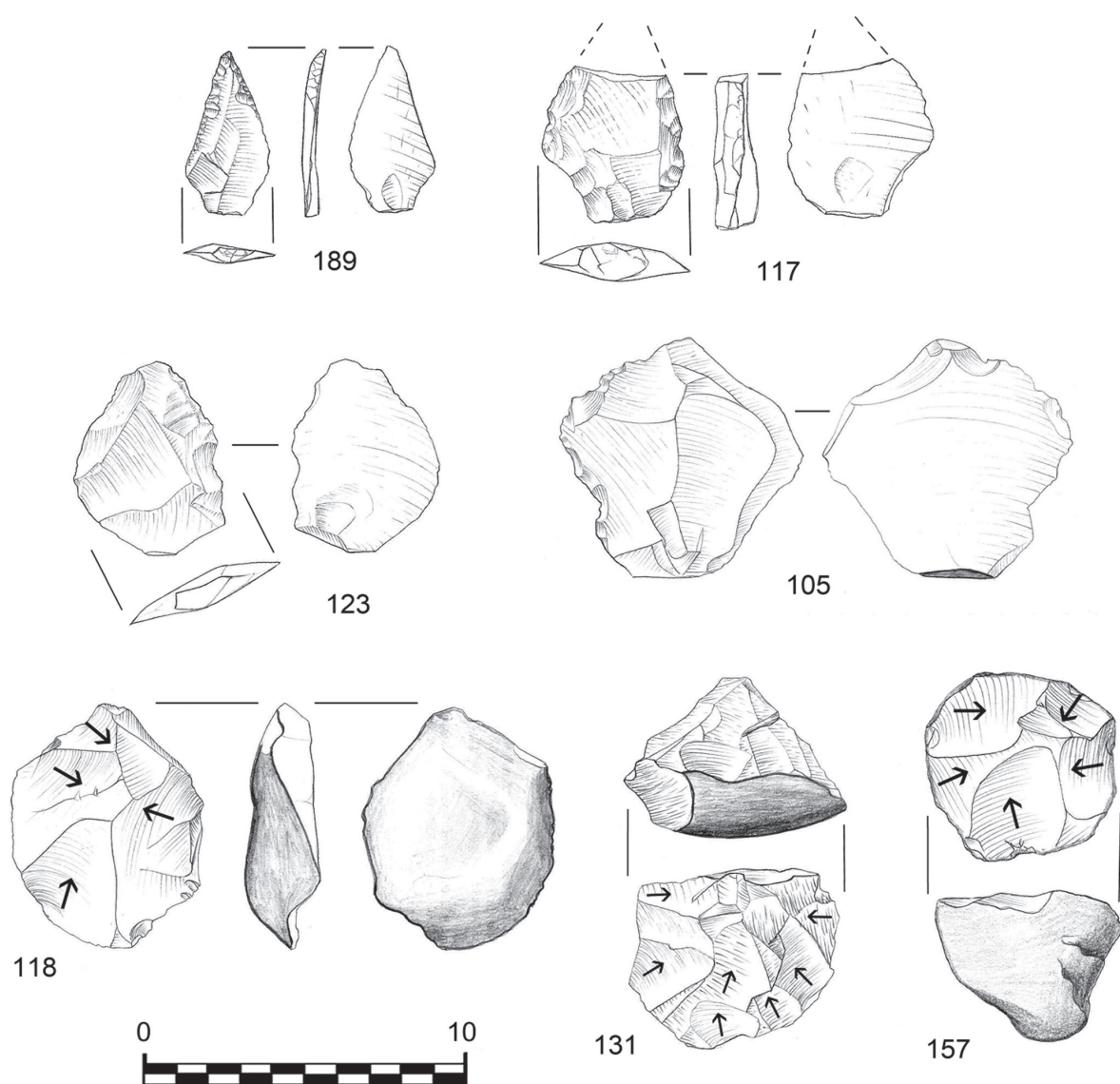


Fig. 4: Útiles retocados, productos industriales y esquemas centrípetos sobre núcleos.

si bien su longitud máxima fue de 500 m al oeste, y su longitud mínima de 20 m al este.

El recorrido de dichos *transects* se efectuó desde el extremo este, avanzando de norte a sur y de sur a norte alternativamente hasta completar la serie. Durante este proceso se mostró especial interés a las alteraciones sobre el terreno, concentradas en las lindes en forma de taludes o cárcavas, a fin de aproximarnos a la geomorfología cuaternaria de la terraza en la que se encuadra la parcela. En este sentido tan sólo fuera de ésta y a casi 400 m al sur, bajo la cota 138 y en terrenos del Cementerio de San Rafael, pudimos fotografiar un perfil de la terraza, conformado por sedimentos terrosos rojizos intercalados por estratos de gravas y cantos redondeados de génesis fluvial.

Durante la jornada de prospección el grado de visibilidad de la parcela afectada fue de tipo medio, al encontrarse cubierta en gran parte por gramíneas fruto de un barbecho prolongado. Sin embargo, la escasa cubierta de la vegetación permitió visualizar con total nitidez el terreno,

el cual se encontraba sometido a lavado por lluvias recientes. Por otra parte, el estado de la propiedad mostraba una casi completa ausencia de suelo vegetal, dadas las características de la edafología presente, prospectando durante la mayor parte del tiempo sobre limos y arcillas libres de cobertura orgánica.

Dados los objetivos de esta prospección, no se efectuó una recogida sistemática de los restos muebles visualizados superficialmente, si bien todos aquellos que pudieron ser localizados fueron identificados, georeferenciados mediante receptores GPS y fotografiados *in situ* en su práctica totalidad, recogiendo únicamente aquellos que por sus características tecnotipológicas consideramos en ese momento que podrían ser susceptibles aportar información digna de un estudio ulterior.

Los datos extraídos de todo el material visualizado en superficie se han vertido en una tabla en la cual se expresa el número asignado a cada pieza en función de su ubicación

topográfica (*waypoint*), las coordenadas UTM (ED 50), una breve descripción del objeto, la materia prima identificada, la fotografía correspondiente en su caso y si fue recogida. La mayor parte del registro documentado se encontraría dentro del área de afección de la planta fotovoltaica proyectada, si bien han sido de la misma forma situados algunos artefactos ajenos a esta área pero ubicados dentro de la propiedad. Toda esta documentación se encuadra dentro de 108 localizaciones, correspondientes a 126 artefactos líticos pertenecientes al Paleolítico inferior y medio.

Ya en laboratorio y una vez realizada la fase de campo se procedió a una descripción más detallada del repertorio lítico recolectado, el cual asciende a 39 elementos, en su mayor parte bases de explotación (núcleos) y macrouillaje, amén de algunos productos industriales e instrumental elaborado sobre lasca.

RESULTADOS

Nuestro análisis de la industria lítica tallada recuperada se basa en criterios descriptivos de orden morfológico y tipológico, habiendo prescindido de un estudio tecnológico y experimental pormenorizado dados los objetivos iniciales y la ausencia de una recogida de material exhaustiva y sistemática. Para ello hemos utilizado como base la clásica obra de François Bordes (2000 [1961]), asumiendo las puntualizaciones que sobre las definiciones de la Técnica Levallois y el uso de predeterminación apuntaron autores posteriores (Tixier *et Alii* 1980, Boëda 1994).

Descripción de los artefactos recolectados

Nota: La descripción que presentamos a continuación corresponde exclusivamente a las 38 piezas que fueron recolectadas sobre el terreno, y que en la actualidad se encuentran depositadas en los fondos del Museo Arqueológico y Etnográfico de Córdoba (MAECO). En esta relación, el número que precede a cada pieza corresponde al mismo con el que cuenta tanto en las localizaciones de la figura 1, en la tabla de la figura 2, como en la representación gráfica de las figuras 3 y 4.

90.- Triedro- Bifaz cordiforme alargado. Roca metamórfica oscura. Dotado de base cortical y con un estrechamiento de los filos en el tercio superior dejando el ápice en forma de pico. Se halla configurado a partir de series de amplias extracciones (*façonnage*). Superficie muy patinada y redondeada por erosión por transporte hídrico.

92.- Raedera simple cóncava sobre lasca. Talón cortical. Retoque abrupto directo y profundo en lado derecho. Área distal fracturada. Cuarcita.

96.- Núcleo centrípeto discoide unifacial de base reservada cortical, en cuarcita gris.

105.- Lasca Levallois preferencial atípica. Talón cortical. Los negativos de las extracciones anteriores presentes en la cara dorsal presentan un esquema básicamente centrípeto. Cuarcita gris. Fracturas distales de orden reciente (no patinadas).

106.- Lasca- arista de núcleo. Talón liso. Cuarcita gris.

108.- Raedera lateral simple cóncava sobre lasca de cuarcita gris. Retocada a partir de una lasca- flanco de núcleo poliédrico. Talón liso.

112.- Bifaz ovalar sobre canto en cuarcita de base cortical. Presenta una extracción antigua patinada en una de las caras. Su silueta es redondeada, muy próxima a una morfología discoide, a excepción de la punta, levemente despejada.

114.- Denticulado sobre lasca obtenida a partir de un esquema unidireccional. Talón liso. Cuarcita.

115.- Muesca sobre lasca gruesa posiblemente preferencial. Talón liso. Muestra los negativos de tres extracciones anteriores siguiendo un esquema centrípeto. Cuarcita.

116.- Lasca Levallois preferencial. Talón liso sin evidencias de bulbo. Los negativos de las extracciones anteriores presentes en la cara dorsal presentan un esquema centrípeto. Sílex blanquecino.

117.- Raedera convergente convexa sobre lasca probablemente preferencial. Talón facetado. Área distal fracturada. Retoque directo simple escamoso en ambos lados. Cuarcita.

118.- Núcleo de base cortical recurrente centrípeto unifacial. Las últimas extracciones, de filos convergentes, contarían con talón cortical. Sílex blanquecino.

119.- Bifaz amigdaloides. Base cortical. Se halla configurado a partir de series de amplias extracciones (*façonnage*). Filo distal casi tranchante, a modo de hendedor. Cuarcita gris.

120.- Raedera lateral con retoque bifacial profundo escaliforme, sobre lasca gruesa cortical. Talón suprimido por extracciones leves en la base. Cuarcita.

123.- Lasca Levallois probablemente perteneciente a un núcleo recurrente centrípeto. Talón liso. Cuarcita gris.

128.- Lasca Levallois preferencial. Talón diedro. Fracturada. Conserva los negativos de hasta cinco extracciones anteriores de esquema centrípeto. Cuarcita granulosa.

131.- Núcleo centrípeto discoide unifacial de base cortical reservada. Las lascas extraídas, de filos preferentemente convergentes, contarían con talón cortical. Presenta reflejados. Cuarcita gris.

133.- Núcleo discoide centrípeto bifacial parcial. Atípico. Cuarcita gris.

134.- Pequeño núcleo centrípeto discoide unifacial de base cortical. Cuarcita gris.

137.- Raedera simple lateral sobre lasca gruesa de descortezado. Talón suprimido por extracciones leves. El frente activo se encuentra constituido por un retoque continuo profundo y directo, de morfología escamosa y silueta convexa. Cuarcita.

138.- Raedera transversal convexa. Frente activo conformado por retoque directo, continuo profundo y escaliforme, sobre lasca muy gruesa. Cuarcita.

140. Arista de núcleo previsiblemente poliédrico. Talón liso. Cuarcita.

141.- Denticulado sobre lasca obtenida a partir de un esquema unidireccional. Talón cortical. Retoque semiabrupto denticulado directo en área distal respecto al eje tecnológico (*en bout*). Cuarcita gris.

142.- Núcleo/ *chopping tool* con extracciones amplias centrípetas bifaciales, configurado de forma que quizás pueda ser clasificado como macroustillaje. Cuarcita gris.

148.- Núcleo unifacial sobre canto, sobre cuarcita gris y con un solo frente de talla unidireccional. Los productos extraídos contarían con talón cortical.

157.- Núcleo discoide centrípeto unifacial sobre canto. Sílex blanquecino.

160.- Denticulado lateral a partir de lasca semicortical, con talón cortical. Cuarzoarenita.

163.- Núcleo poliédrico. Cuarcita gris.

164.- Hendedor bifacial configurado por amplias extracciones centrípetas. Filo distal transversal ligeramente convexo. Cuarcita gris.

166.- Raedera transversal convexa doble. Fracturada. Elaborada en cuarcita gris sobre lasca gruesa. Retoque distal escaleriforme profundo y continuo y bifacial en su base.

172.- Raedera simple convexa sobre lasca. Los negativos de las extracciones anteriores en su cara dorsal evidencian un esquema previo de extracción centrípeta. Talón liso. Retoque directo simple y discontinuo. Cuarcita gris.

173.- Muesca sobre lasca fracturada de talla. Talón cortical. Cuarcita gris.

177.- Núcleo centrípeto discoide bifacial, agotado. La base testimonia un pequeño sector de superficie cortical. Cuenta con al menos una extracción reflejada. Cuarcita.

188.- Triedro parcial sobre lasca gruesa cortical (talón liso), configurado a partir de tres extracciones directas (*façonnage*). Cuarcita muy redondeada y patinada por erosión hídrica.

189.- Punta musterense de talón facetado, con una sola arista en la cara dorsal. Retoque directo continuo y semiabrupto de morfología escamosa en ambos lados, los cuales se hacen profundos en el sector distal junto al ápice. Sílex melado levemente deshidratado.

190.- Lasca laminar con talón diedro. Evidencias de dos extracciones antiguas de pátina oscura en la cara dorsal. Retoque directo discontinuo semiabrupto levemente denticulado en ambos lados. Sílex blanquecino. Brillo de suelo en toda su superficie.

195.- Fragmento de núcleo sobre canto de frente de extracción unidireccional. Cuarcita gris.

197.- Muesca sobre lasca. Talón liso. Cuarcita.

Síntesis de la industria

Como ya hemos indicado, el registro total identificado

sobre este terreno consta de 126 artefactos, de los cuales 113 se encuentran realizados sobre cuarcitas y cuarzoarenitas, 9 sobre sílex y en última instancia sobre otro tipo rocas (tan sólo cuatro elementos) cuyo grado de alteración impide su identificación *de visu*. Esta proporción de materias primas resulta habitual en los conjuntos estudiados a lo largo de las terrazas del Guadalquivir (Caro Gómez 2006a: 91). Como rasgo principal del conjunto, destaca su carácter de macroindustria, compuesta tanto por bases de explotación (núcleos) como por macroustillaje, constituido este último por bifaces, triedros y raederas transversales sobre productos industriales de gran calibre. En segundo lugar, los productos industriales de menores dimensiones estarían fundamentalmente constituidos por lascas de descortezado y plena explotación, estando bien representadas las fórmulas del Levallois clásico.

Comenzando por el macroustillaje, éste se encuentra realizado a partir de bases naturales del entorno inmediato (cantos), destacando los bifaces y triedros tallados por medio de amplias extracciones en escaso número y realizadas con percutor duro (*façonnage*), modificando lo menos posible el soporte, del que suele quedar la base completamente cortical (números 119, 090, 112 ó 169). En estos útiles predomina su funcionalidad inmediata frente al diseño, dado lo perentorio de este tipo de industrias y donde probablemente influye la propia calidad de la materia prima. Así pues, estos macroútiles se aproximan al modo de trabajo de *Choppers* y *Chopping tools*, pudiendo afirmar que presentan el mínimo número de extracciones posibles para no ser denominados de esta forma. En este sentido, la existencia de redondeamiento y pátinas diferenciales en negativos de extracción presentes en un mismo artefacto, indica la explotación ocasional de paleoindustrias, bien para ahorrar el testado como para obtener soportes adecuados evitando al mismo tiempo el desbastado de adelgazamiento.

En cuanto a los macroútiles sobre lascas espesas, parecen concentrarse en raederas simples y transversales, configuradas estas últimas a partir de retoque directo semiabrupto profundo y de morfología escamosa- escaleriforme. Contamos de la misma forma con raederas simples laterales de retoque bifacial (120), y raederas dobles, compartiendo en alguna ocasión retoque simple escamoso y bifacial (166). Igualmente sobre lascas espesas corticales contamos con algún pico triedro (188).

Describiremos las bases de explotación (núcleos) a partir de un nivel de complejidad ascendente. En primer lugar están presentes núcleos de configuración poliédrica o de explotación de escasa inversión técnica, a veces con frente unidireccional (148), si bien predominan núcleos de extracciones centrípetas, estando ampliamente representados aquellos de morfología discoide. Entre estos, destacan especialmente núcleos de tipometría mediana y grande (entre 5 cm y 15 cm de diámetro), de morfología discoide o en menor medida piramidal- discoide, generalmente de base reservada cortical aunque también bifacial, con extracciones de dirección centrípeta, los cuales se presentan desde plena explotación hasta agotados. En algún caso, las extracciones muestran cierta disposición alternante conformando morfologías bifaciales que lo aproximan a posi-

bles útiles nucleares (142). Al no haber procedido al análisis tecnológico pormenorizado de dichas bases, no resulta fácil evaluar el nivel de predeterminación que presenta una gran parte de dichos soportes. Sin embargo, entre éstos resulta indiscutible la existencia de núcleos de lasca Levallois preferencial, contando con una relativa abundancia de lascas preferenciales, las cuales indican claramente una procedencia a partir de esquemas centrípetos sencillos, mientras que en otros casos resulta más complejo encuadrarlas en un esquema operativo concreto.

Los productos industriales de menores dimensiones coinciden en la práctica totalidad con lascas de descortezado, de plena explotación y de tipo Levallois preferencial, destacando algunos útiles configurados por retoque, como raederas simples de pequeño tamaño, muescas y denticulados. Dado el carácter superficial del conjunto y los procesos postdeposicionales a los que ha debido verse sometido, resulta difícil en algunas ocasiones descartar acciones mecánicas naturales en la configuración de algunos de estos útiles, sobre todo en los casos de elementos muy patinados y redondeados por erosión hídrica.

Sin embargo, algunos útiles presentan un indiscutible cuidado en su configuración, siendo el caso de una punta musterense en sílex (189). Ésta en concreto está realizada sobre una punta Levallois (o pseudo-Levallois) cuyo extremo distal cuenta con retoque simple directo tendente a sobre-elevado. La materia prima empleada es sílex melado, aunque en la actualidad muestra un grado destacado de deshidratación. Su hallazgo a casi 400 m al sur del área de mayor concentración de material y en un talud situado a aproximadamente cinco metros por debajo de la cota máxima de la parcela, así como su excelente estado de conservación, obliga a disociar su origen deposicional así como el del resto de los elementos de este sector, de la mayor parte del conjunto analizado hallado en la superficie planificada para el huerto solar (Sector norte).

CONCLUSIONES

El trabajo que aquí presentamos vuelve a corroborar la abundancia de testimonios del Paleolítico inferior y medio (modos tecnológicos 2 y 3) en las terrazas del Guadalquivir, en forma de utillaje, productos industriales y bases de extracción, realizados fundamentalmente sobre cuarcita. El registro arqueológico principal que ha arrojado esta prospección, responde a una industria de tipología Achelense y Musterense, relacionada con la ocupación y explotación de este entorno por grupos humanos de cazadores-recolectores entre finales del Pleistoceno medio y primera parte del Pleistoceno superior. En este sentido apuntaríamos a un uso de los recursos abióticos secundarios de forma oportunista dentro de una estrategia deambulante en un entorno fluvial, dada la abundancia de material, donde se ejercerían actividades de aprovechamiento y forrajeo de recursos bióticos, animales y vegetales.

La mayor parte del macrouillaje detectado responde a útiles elaborados sobre cantos, conformados mediante amplias extracciones con percutor duro (*façonnage*), caso de bifaces, hendedores y triedros, y grandes lascas gruesas, utilizadas generalmente para confeccionar raederas

espesas, las cuales suelen mostrar un retoque profundo de morfología escaleriforme. Aunque se han detectado núcleos de explotación oportunista, la mayor parte de los núcleos localizados cuentan con morfología discoide, tanto para la obtención de lascas Levallois preferenciales como mostrando esquemas reiterativos sin predeterminación aparente.

La naturaleza de los hallazgos realizados, así como el modo en el que se presentan sus agrupaciones, impiden trazar áreas de delimitación espacial de orden primario. Como puede apreciarse en la fotografía aérea (figura 1, arriba a la izquierda), las áreas de mayor concentración de artefactos corresponden a franjas más o menos sinuosas dispuestas en sentido norte-sur de color claro, las cuales destacan con las tonalidades anaranjadas o pardo-rojizas del resto del terreno circundante, y que cabría asociar a barras de cantos y grava aflorantes estratificados en los niveles de terraza, los cuales siguiendo un proceso erosivo natural han ido liberando clastos entre los que se encontraban los elementos industriales detectados sobre el terreno. Éstos, a juzgar por su desigual grado de patinado y por la presencia de redondeamiento de génesis hídrica en contextos de alta energía, corresponden a deposiciones secundarias debidas a transporte fluvial. Ello pudo tener influencia en el mayor peso de la macroindustria por selección post-deposicional, entrando en juego tamaño, masa y calibre entre procesos naturales sedimentarios.

Si seguimos literalmente la descripción del mapa geológico del IGME 1: 50000 (Hoja 923, MAGNA 50), estos terrenos se sitúan en la T3 o tercera terraza del Guadalquivir. Esta formación suele datarse a partir del OIS 5 (Uribelarrea y Benito 2008: 16), lo que la situaría dentro del Pleistoceno superior. Sin embargo, la cota máxima en la zona de afectación es de 141 msnm, siendo la de la vega aluvial próxima de 107 m. En este sentido, y considerando un cauce máximo de 6 m de profundidad del Guadalquivir en este tramo, la terraza parece situarse a aproximadamente + 40 m del *thalweg* (grupo de las terrazas medias), por lo que su cronología podría considerarse más antigua. En este sentido sin embargo, en el entorno de Palma del Río las terrazas de la confluencia Genil- Guadalquivir, con industria propia del Achelense y del Paleolítico medio, han podido datarse en momentos posteriores al evento Biwa 1 (180 ka BP) (Baena y Díaz 1995: 97), habiéndose datado por su parte niveles de terrazas medias tanto en Sevilla (La Jarilla) como en Andújar con resultados en torno a 80 y 55 ka BP respectivamente (Uribelarrea y Benito 2008: 16; Baena y Díaz 1994: 103).

Por último, y una vez expresadas las dataciones de los eventos geomorfológicos de referencia, nuestro conjunto arqueológico a tenor de los rasgos tecnológicos y tipológicos disponibles podrían ubicarse en un segmento diacrónico situado aproximadamente entre el final del Pleistoceno medio y la primera mitad del Pleistoceno superior (\pm 200 ka- 50 ka BP), incidiendo en la naturaleza redeposicionada por acción hídrica de los materiales paleolíticos localizados durante esta prospección superficial, hecho refrendado por el patinado y el aspecto redondeado en diferente grado de gran parte de los artefactos.

AGRADECIMIENTOS

Queremos reiterar aquí nuestro agradecimiento al Dr. Miguel Cortés Sánchez (Dpto. de Prehistoria y Arqueología, Universidad de Sevilla), por sus valiosas puntualizaciones sugeridas tras la lectura del texto.

BIBLIOGRAFÍA

AGUIRRE, E. (1968): "Revisión sistemática de los Elephantidae por su morfología y morfometría dentaria (primera parte)". **Estudios Geológicos**, 24, pp. 109-167.

AGUIRRE, E. (1969a): "Revisión sistemática de los Elephantidae por su morfología y morfometría dentaria (segunda parte)". **Estudios Geológicos**, 25, pp. 123-177.

AGUIRRE, E. (1969b): "Revisión sistemática de los Elephantidae por su morfología y morfometría dentaria (tercera parte)". **Estudios Geológicos**, 25, pp. 317-367.

ARAQUE ARANDA, F. (1987): "Paleolítico Antiguo en la provincia de Córdoba I. El arroyo del Ventogil (Fernán Núñez)". **Estudios de Prehistoria Cordobesa**, 3, pp. 3-18

ARAQUE ARANDA, F. (1993): "La Barqueta. Materiales de superficie del Paleolítico antiguo en la Provincia de Córdoba". **Ariadna**, 11, pp. 5- 161.

ASQUERINO FERNANDEZ, Mª D. (1994): "*Los pueblos sin historia escrita*". Córdoba Capital, 1. Historia. Caja Provincial de Ahorros de Córdoba, pp. 2- 14.

BAENA ESCUDERO, R.; DÍAZ DEL OLMO, F. (1994): "Cuaternario aluvial de la Depresión del Guadalquivir: episodios geomorfológicos y cronología geomagnética". **Geogaceta**, 15, pp. 102- 104.

BAENA ESCUDERO, R.; DÍAZ DEL OLMO, F. (1995): "Confluencia Genil- Guadalquivir (Córdoba): Cuaternario fluvial y localizaciones del paleolítico". **Geogaceta**, 18, pp. 97- 100

BOËDA, E. (1994): **Le concept Levallois: variabilité des méthodes**. CNRS Éditions, Paris.

BORDES, F. (2000 [1961]) : **Typologie du Paléolithique ancien et moyen**. CNRS Éditions, Paris.

BRETONES GARCÍA, Mª D. (2009): **Informe preliminar de la Actividad Arqueológica Preventiva en terrenos de "El Origuero" (Córdoba), Parcela 30, Polígono 18**. Informe Inédito, Delegación de Cultura de Córdoba.

CARBONELL TRILLO- FIGUEROA, A. (1916): "Investigaciones espeleológicas en la provincia de Córdoba". **Revista Minera Metalúrgica y de Ingeniería**, tomo LXII, serie XXXIV, pp. 597 y 598.

CARBONELL TRILLO- FIGUEROA, A. (1926): **La línea tectónica del Guadalquivir**. Instituto Geológico de España, Madrid.

CARBONELL TRILLO- FIGUEROA, A. (1928): «Contribución al estudio de la prehistoria y arqueología cordobesa. La zona de Posadas», **Boletín de la Real Academia de Córdoba**, 23, pp. 61- 69.

CARBONELL- TRILLO FIGUEROA, A. (1931): "Contribución al estudio de la Prehistoria Cordobesa: Indicios

de una estación paleolítica en Santa Cruz". **Boletín de la Real Academia de Córdoba**, 32, pp. 81- 82.

CARBONELL, E. (Coord.) (2005): **Homínidos: Las Primeras Ocupaciones de los Continentes**. Ariel.

CARO GÓMEZ, J. A. (2006a): "Explotación de los recursos líticos durante el paleolítico inferior y medio en el bajo valle del Guadalquivir". En, Martínez Fernández, G.; Morgado Rodríguez, A; Afonso Marrero, J. A. (Coords.): **Sociedades prehistóricas, recursos abióticos y territorio**. Actas de la III Reunión de trabajo sobre aprovisionamiento de recursos abióticos en la Prehistoria, Fundación Ibn Al Jatib, Granada, pp. 88- 101.

CARO GÓMEZ, J. A. (2006b): "Yacimientos e industrias achelenses en las terrazas fluviales de la depresión del Bajo Guadalquivir (Andalucía, España). Secuencia estratigráfica, caracterización tecnocultural y cronología". **Carel**, 4, pp. 1423- 1605.

CASAS MORALES, A. (1964): "El Paleolítico Inferior en la Campiña de Córdoba". **Boletín de la Real Academia de Córdoba**, 86, pp. 127- 140.

EXPÓSITO VILCHES, E. Mª; MARTÍNEZ SÁNCHEZ, R. Mª: (2009): **Informe memoria de la Actividad Arqueológica Preventiva, Prospección Arqueológica Superficial, en Instalación eléctrica fotovoltaica Casillas I y II (Córdoba)**. Informe Preliminar, Delegación Provincial de Cultura de Córdoba.

LIÉBANA MÁRMOL, J. L. (2008): **Informe de Prospección Arqueológica Superficial Central Termosolar "La Africana"**. Informe inédito, Córdoba, Delegación Provincial de Cultura.

MARTÍNEZ SÁNCHEZ, R. Mª (2010): Informe- Memoria de la Actividad Arqueológica Preventiva (Prospección Arqueológica Superficial) en terrenos de Explotación de Áridos Finca "el Cañuelo Alto" (Córdoba). Informe Inédito. Delegación de Cultura.

MELCHOR GIL, E. (1995): **Vías romanas de la provincia de Córdoba**, Córdoba.

PELAYO, F. (1998): "Las polémicas sobre las teorías paleontológicas en la Sociedad Española de Historia Natural". **Memorias de la Real Sociedad Española de Historia Natural**, I, II Época, pp. 205- 219.

RUIZ GÓMEZ, A. Mª (1985): "Materiales musterienses en el Museo de Córdoba". **Corduba Archaeológica**, 15, pp. 5- 11.

SANTOS GALLEGO, S. (1947): "Nota sobre el Paleolítico Cordobés". **Crónica del II Congreso arqueológico del Sureste Español**, Albacete, 1946, pp. 67- 68.

TIXIER, J.; INIZAN, M. L.; ROCHE, H. (1980) : **Préhistoire de la pierre taillée I. Terminologie et technologie**. Centre de recherches d'études préhistoriques, Paris.

URIBELARREA, D.; BENITO, G. (2008): "Fluvial changes of the Guadalquivir River during the Holocene in Córdoba (Southern Spain)". **Geomorphology**, 100, pp. 14-31.

VALLESPÍ, E.; DÍAZ DEL OLMO, F.; ÁLVAREZ, G.; VALLESPÍ GARCÍA, E. (1988): "Secuencia paleolítica del Bajo Guadalquivir". **Revista de Arqueología**, 82, pp. 8-17

VIANA, A. (1946): "Alguns exemplares paleolíticos de Córdoba la Vieja". **Brotéria Cultural**. Vol 43, pp. 57- 63.